

Рис. 2. Структура алгоритма IDEA.

На вход каждого раунда шифрования подается четыре 16-битовых блока, из которых генерируется четыре выходных 16-битовых блока. Выходное преобразование тоже генерирует четыре 16-битовых блока, в результате конкатенации которых получается 64-битовый зашифрованный текст. В каждом раунде задействовано шесть 16-битовых подключей, а в выходном преобразовании — четыре, что в сумме составляет 52 подключа. Как показано в правой части рис. 2, все эти 52 подключа генерируются из исходного 128-битового ключа.

### 2.3. Детали алгоритма шифрования

Давайте проведем анализ отдельного раунда, схема которого показана на рис.3. На самом деле на рис. 3 показана схема первого раунда. Последующие раунды имеют точно такую же структуру, но используют другие подключи и другие входные данные. Как видим, структура шифра IDEA отличается от классической структуры шифров Файстеля. Раунд начинается с преобразования, которое с помощью операции сложения и умножения связывает четыре входных подблока с четырьмя подключами. Это преобразование представлено серым прямоугольником вверху рис. 3. Четыре выходных блока этого преобразования связываются с помощью операции XOR с целью получения двух 16-битовых блоков, которые затем подаются на вход структуры МА (см. рис. 1), представленной на рисунке нижним серым прямоугольником. Кроме того, структура МА получает на входе два подключа, а в результате обработки всех полученных данных на выходе этой структуры генерируется два 16-битовых значения.

Наконец, четыре блока, полученных на выходе первого преобразования, связываются с помощью операции XOR с двумя блоками, получаемыми на

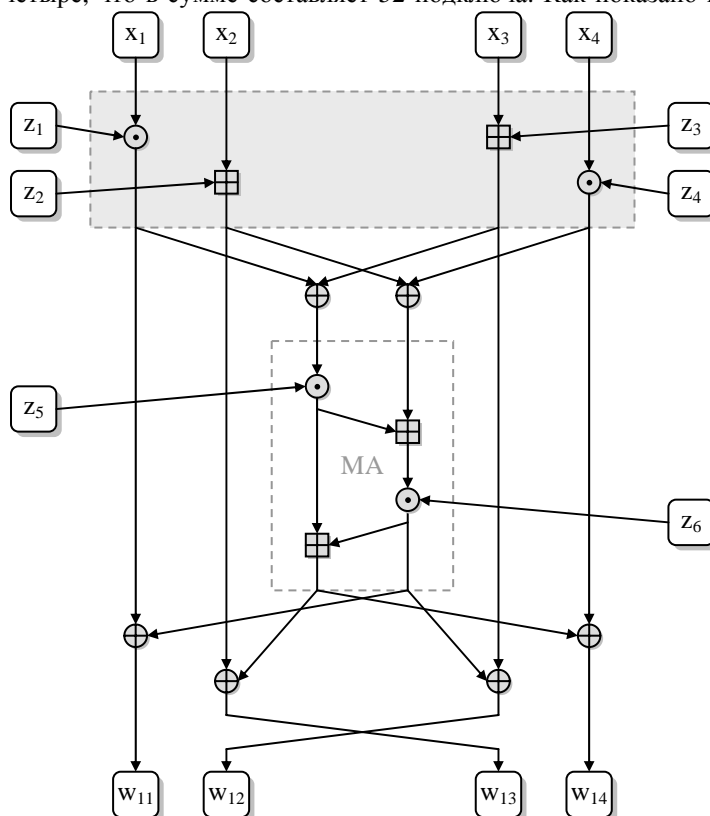


Рис. 3. Один раунд шифрования IDEA (первый раунд)

выходе структуры МА, и в результате имеется четыре выходных блока данного раунда. Обратите внимание на то, что два выходных значения, отчасти зависящих от второго и третьего входных значений ( $X_2$  и  $X_3$ ), меняются местами, образуя второе и третье выходные значения ( $W_{12}$  и  $W_{13}$ ). Это увеличивает степень перемешивания обрабатываемых битов и делает алгоритм менее уязвимым в отношении методов дифференциального криптоанализа.

Схема девятой стадии алгоритма, обозначенной на рис. 2 как выходное преобразование, показана на рис. 4. Обратите внимание на то, что она имеет структуру, подобную структуре той части предыдущего раунда шифрования, которая представлена верхним серым прямоугольником на рис. 3. Единственное отличие в том, что второй и третий входные подблоки перед обработкой меняются местами. Фактически это означает отмену операции обмена, выполненной в конце восьмого раунда. Наличие этих лишних перестановок объясняется стремлением использовать одну и ту же структуру как для шифрования, так и для дешифрования. Обратите внимание и на то, что в отличие от восьми предыдущих раундов, на девятой стадии используется не шесть подключей, а только четыре.

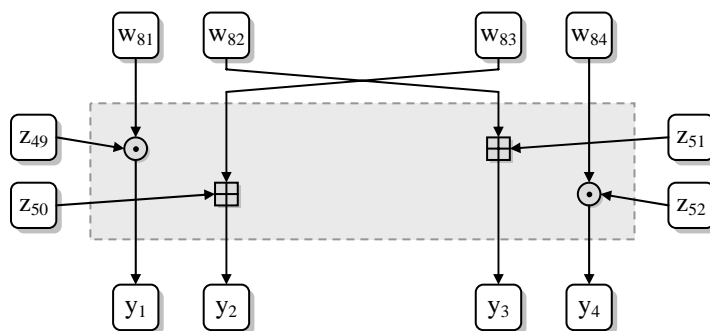


Рис. 4. Выходное преобразование IDEA

#### 2.4. Вычисление подключей

Возвращаясь к рис. 2, видно, что все 52 16-битовых подключа генерируются из 128-битового ключа шифрования. При этом применяется следующая схема. Первые восемь подключей, обозначенные  $Z_1, Z_2, \dots, Z_8$ , образуются непосредственно из ключа:  $Z_1$  равен первым (наиболее значимым) 16 битам ключа шифрования,  $Z_2$  - следующим 16 битам и т.д. Затем к ключу шифрования применяется циклический сдвиг влево на 25 битов и создается восемь следующих подключей. Эта процедура повторяется до тех пор, пока не будут получены все 52 подключа. На рис. 5 показано соответствие битов всех подключей битам исходного ключа.

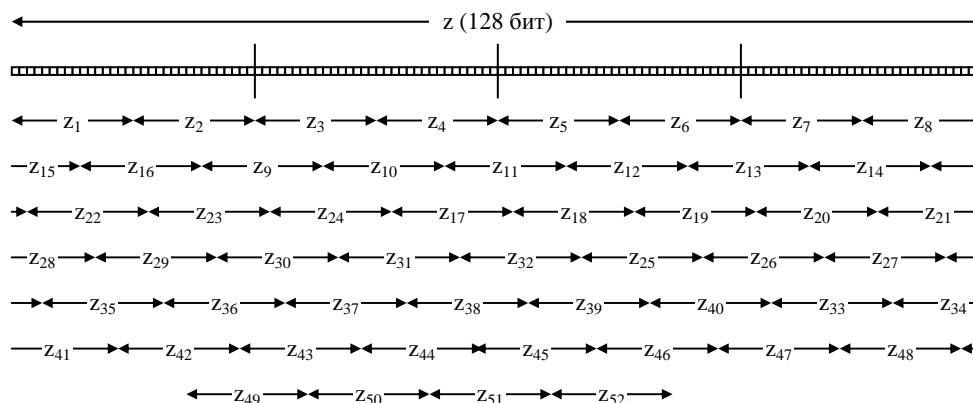


Рис. 5. Подключи IDEA

Эта схема обеспечивает эффективный механизм изменения битов ключа, используемых в подключях всех восьми раундов. Обратите внимание на то, что первый подключ каждого раунда использует свой диапазон битов исходного ключа. Если обозначить весь ключ шифрования как  $Z[1..128]$ , то на первые ключи восьми раундов шифрования придутся следующие диапазоны битов исходного ключа.

$$\begin{aligned} Z_1 &= Z[1..16], & Z_{25} &= Z[76..91], \\ Z_7 &= Z[94..112], & Z_{31} &= Z[44..59], \\ Z_{13} &= Z[90..105], & Z_{37} &= Z[34..52], \\ Z_{19} &= Z[83..98], & Z_{43} &= Z[30..45]. \end{aligned}$$

Для всех раундов, за исключением первого и восьмого, 96 битов подключей, используемых для раунда, не представляют собой непрерывного битового фрагмента исходного ключа, поэтому даже между ключами раундов нет простой взаимосвязи, которая получалась бы, например, с помощью сдвига. Это объясняется тем, что в каждом раунде фигурирует только шесть из восьми подключей, получаемых в результате сдвига битов исходного ключа.

#### 2.5. Дешифрование IDEA

Процесс дешифрования практически идентичен процессу шифрования. При дешифровании зашифрованный текст подается на вход той же самой структуры IDEA (см. рис. 2) — разница заключается только в ином выборе подключей. Подключи дешифрования  $U_1, \dots, U_{62}$  получаются из подключей шифрования по следующей схеме.

1. Первые четыре подключа для  $i$ -го раунда дешифрования получаются из первых четырех подключей  $(10 - i)$ -го раунда шифрования, если 9-м раундом считать выходное преобразование. Первый и четвертый подключи дешифрования равны мультипликативным обращениям по модулю  $2^{16} + 1$  первого и четвертого подключей

шифрования соответственно. Для раундов со 2-го по 8-й второй и третий подключи дешифрования равны аддитивным обращениям по модулю  $2^{16}$  третьего и второго подключей шифрования соответственно. Для раундов 1 и 9 второй и третий подключи дешифрования равны аддитивным обращениям по модулю  $2^{16}$  второго и третьего подключей шифрования соответственно.

- Для первых восьми раундов два последних подключа  $i$ -го раунда дешифрования равны двум последним подпускам  $(9 - i)$ -го раунда шифрования.

**Таблица 1. Подключи шифрования и дешифрования**

| Шифрование     |   |   |
|----------------|---|---|
| Стадия         | Обозначение   | Эквивалент  |
| Раунд 1        | $Z_1 \ Z_2 \ Z_3 \ Z_4 \ Z_5 \ Z_6$                   | $Z[1..96]$  |
| Раунд 2        | $Z_7 \ Z_8 \ Z_9 \ Z_{10} \ Z_{11} \ Z_{12}$          | $Z[97..128; 26..89]$  |
| Раунд 3        | $Z_{13} \ Z_{14} \ Z_{15} \ Z_{16} \ Z_{17} \ Z_{18}$ | $Z[90..128; 1..25; 51..82]$                                       |
| Раунд 4        | $Z_{19} \ Z_{20} \ Z_{21} \ Z_{22} \ Z_{23} \ Z_{24}$ | $Z[83..128; 1..50]$   |
| Раунд 5        | $Z_{25} \ Z_{26} \ Z_{27} \ Z_{28} \ Z_{29} \ Z_{30}$ | $Z[76..128; 1..43]$   |
| Раунд 6        | $Z_{31} \ Z_{32} \ Z_{33} \ Z_{34} \ Z_{35} \ Z_{36}$ | $Z[44..75; 101..128; 1..36]$                                      |
| Раунд 7        | $Z_{37} \ Z_{38} \ Z_{39} \ Z_{40} \ Z_{41} \ Z_{42}$ | $Z[37..100; 126..128; 1..29]$                                     |
| Раунд 8        | $Z_{43} \ Z_{44} \ Z_{45} \ Z_{46} \ Z_{47} \ Z_{48}$ | $Z[30..125]$  |
| Преобразование | $Z_{49} \ Z_{50} \ Z_{51} \ Z_{52}$                   | $Z[23..86]$   |
| Дешифрование   |   |   |
| Стадия         | Обозначение   | Эквивалент  |
| Раунд 1        | $U_1 \ U_2 \ U_3 \ U_4 \ U_5 \ U_6$                   | $Z_{49}^{-1} \ -Z_{50} \ -Z_{51} \ Z_{52}^{-1} \ Z_{47} \ Z_{48}$ |
| Раунд 2        | $U_7 \ U_8 \ U_9 \ U_{10} \ U_{11} \ U_{12}$          | $Z_{43}^{-1} \ -Z_{45} \ -Z_{44} \ Z_{46}^{-1} \ Z_{41} \ Z_{42}$ |
| Раунд 3        | $U_{13} \ U_{14} \ U_{15} \ U_{16} \ U_{17} \ U_{18}$ | $Z_{37}^{-1} \ -Z_{39} \ -Z_{38} \ Z_{40}^{-1} \ Z_{35} \ Z_{36}$ |
| Раунд 4        | $U_{19} \ U_{20} \ U_{21} \ U_{22} \ U_{23} \ U_{24}$ | $Z_{31}^{-1} \ -Z_{33} \ -Z_{32} \ Z_{34}^{-1} \ Z_{29} \ Z_{30}$ |
| Раунд 5        | $U_{25} \ U_{26} \ U_{27} \ U_{28} \ U_{29} \ U_{30}$ | $Z_{25}^{-1} \ -Z_{27} \ -Z_{26} \ Z_{28}^{-1} \ Z_{23} \ Z_{24}$ |
| Раунд 6        | $U_{31} \ U_{32} \ U_{33} \ U_{34} \ U_{35} \ U_{36}$ | $Z_{19}^{-1} \ -Z_{21} \ -Z_{20} \ Z_{22}^{-1} \ Z_{17} \ Z_{18}$ |
| Раунд 7        | $U_{37} \ U_{38} \ U_{39} \ U_{40} \ U_{41} \ U_{42}$ | $Z_{13}^{-1} \ -Z_{15} \ -Z_{14} \ Z_{16}^{-1} \ Z_{11} \ Z_{12}$ |
| Раунд 8        | $U_{43} \ U_{44} \ U_{45} \ U_{46} \ U_{47} \ U_{48}$ | $Z_7^{-1} \ -Z_9 \ -Z_8 \ Z_{10}^{-1} \ Z_5 \ Z_6$                |
| Преобразование | $U_{49} \ U_{50} \ U_{51} \ U_{52}$                   | $Z_1^{-1} \ -Z_2 \ -Z_3 \ Z_4^{-1}$                               |

Указанные соотношения представлены в табл. 1. Для обозначения мультипликативного обратного служит обозначение  $Z_j^{-1}$ , так что

$$Z_j \odot Z_j^{-1} = 1.$$

Поскольку число  $2^{16} + 1$  является простым, для любого отличного от нуля целого значения  $Z_j < 2^{16}$  найдется значение, являющееся для  $Z_j$  мультипликативным обратным по модулю  $2^{16} + 1$ . Для обозначения аддитивного обратного по модулю  $2^{16}$  используется обозначение  $-Z_j$  поэтому

$$Z_j \oplus Z_j^{-1} = 1.$$

Чтобы убедиться в том, что тот же алгоритм шифрования с подключами дешифрования дает нужный результат, рассмотрим рис. 5, в левой части которого представлена схема шифрования в направлении сверху вниз, а в правой - схема дешифрования в направлении снизу вверх. Каждый раунд разбит на две подстадии - преобразование и субшифрование. Стадия преобразования соответствует верхнему серому прямоугольнику на рис. 3, а стадия субшифрования - остальным операциям, выполняющимся в ходе очередного раунда.

Рассмотрим самые нижние прямоугольники на обеих схемах. При шифровании на выходе функции выходного преобразования имеем

$$Y_1 = W_{81} \odot Z_{49}, \quad Y_3 = W_{82} \oplus Z_{51},$$

$$Y_2 = W_{83} \oplus Z_{50}, \quad Y_4 = W_{84} \odot Z_{52}.$$

При дешифровании на выходе первой подстадии первого раунда получаем следующее:

$$J_{11} = Y_1 \odot U_1, \quad J_{13} = Y_3 \oplus U_3,$$

$$J_{12} = Y_2 \oplus U_2, \quad J_{14} = Y_4 \odot U_4.$$

Заменив соответствующие значения эквивалентными, получим

$$J_{11} = Y_1 \odot Z_{49}^{-1} = W_{81} \odot Z_{49} \odot Z_{49}^{-1} = W_{81}$$

$$J_{12} = Y_2 \oplus -Z_{50}^{-1} = W_{83} \oplus Z_{50} \oplus -Z_{50}^{-1} = W_{83}$$

$$J_{13} = Y_3 \oplus -Z_{51}^{-1} = W_{82} \oplus Z_{51} \oplus -Z_{51}^{-1} = W_{82}$$

$$J_{14} = Y_4 \odot Z_{52}^{-1} = W_{84} \odot Z_{52} \odot Z_{52}^{-1} = W_{84}$$

Таким образом, выходные значения первой подстадии первого раунда дешифрования совпадают с входными значениями последней стадии шифрования, за исключением того, что второй и третий блок оказываются переставленными. Теперь рассмотрим следующие соотношения, которые можно вывести из рис. 3.

$$W_{81} = I_{81} \oplus MA_R(I_{81} \oplus I_{83}, I_{82} \oplus I_{84})$$

$$W_{82} = I_{82} \oplus MA_R(I_{81} \oplus I_{83}, I_{82} \oplus I_{84})$$

$$W_{83} = I_{83} \oplus MA_L(I_{81} \oplus I_{83}, I_{82} \oplus I_{84})$$

$$W_{84} = I_{84} \oplus MA_L(I_{81} \oplus I_{83}, I_{82} \oplus I_{84})$$

где  $MA_R(X, Y)$  обозначает правое выходное значение структуры МА для входных значений  $X$  и  $Y$ , а  $MA_L(X, Y)$  — левое выходное значение структуры МА для входных значений  $X$  и  $Y$  (см. рис. 4.3). Тогда

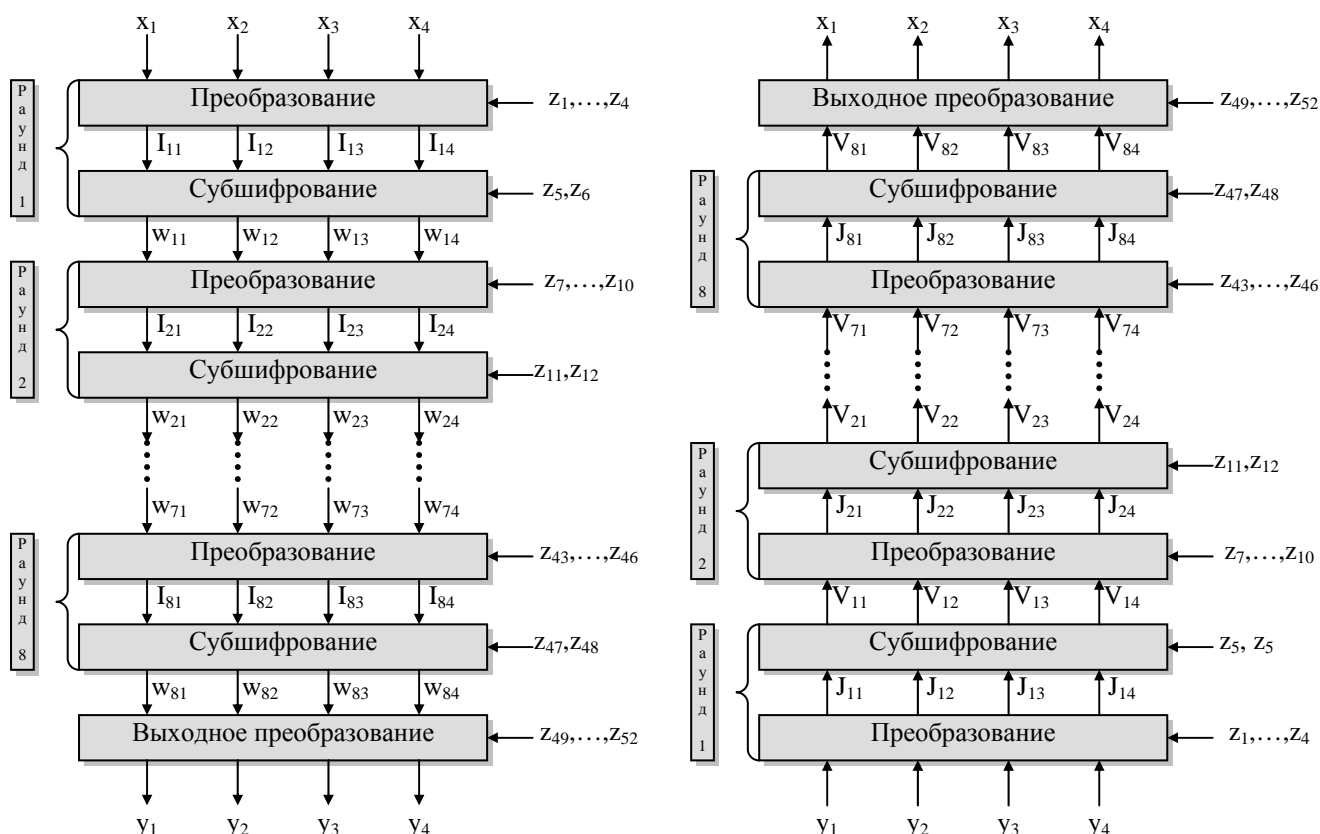


Рис. 5. Шифрование и дешифрование IDEA

$$\begin{aligned}
 V_{11} &= J_{11} \oplus MA_R(J_{11} \oplus J_{13}, J_{12} \oplus J_{14}) = W_{81} \oplus MA_R(W_{81} \oplus W_{82}, W_{83} \oplus W_{84}) = \\
 &= I_{81} \oplus MA_R(I_{81} \oplus I_{83}, I_{82} \oplus I_{84}) \oplus MA_R[I_{81} \oplus MA_R(I_{81} \oplus I_{83}, I_{82} \oplus I_{84}) \oplus I_{83} \oplus MA_R(I_{81} \oplus I_{83}, I_{82} \oplus I_{84}), \\
 &\quad I_{82} \oplus MA_L(I_{81} \oplus I_{83}, I_{82} \oplus I_{84}) \oplus I_{84} \oplus MA_L(I_{81} \oplus I_{83}, I_{82} \oplus I_{84})] = \\
 &= I_{81} \oplus MA_R(I_{81} \oplus I_{83}, I_{82} \oplus I_{84}) \oplus MA_R(I_{81} \oplus I_{83}, I_{82} \oplus I_{84}) = I_{81}
 \end{aligned}$$

Точно также получаем

$$\begin{aligned}
 V_{12} &= I_{83}, \\
 V_{13} &= I_{82}, \\
 V_{14} &= I_{84}.
 \end{aligned}$$

Таким образом, выходные значения второй подстадии процесса дешифрования совпадают с входными значениями предпоследней подстадии шифрования, за исключением того, что второй и третий блок оказываются переставленными. Продолжая аналогичные рассуждения, можно показать, что такое соответствие сохранится для всех соответствующих подстадий на рис. 5 до тех пор, пока мы не будем иметь

$$\begin{aligned}
 V_{81} &= I_{11}, \\
 V_{82} &= I_{13}, \\
 V_{83} &= I_{12}, \\
 V_{84} &= I_{14}.
 \end{aligned}$$

Наконец, поскольку выходное преобразование процесса дешифрования эквивалентно преобразованию первой подстадии процесса шифрования, если не считать обмена местами второго и третьего блоков, мы видим, что на выходе всего процесса дешифрования получаются значения, совпадающие с входными значениями процесса шифрования.

### 3. Задание на лабораторную работу

1. С помощью Excel получить 128-битный ключ из четырех 32-битных чисел, приведенных в таблице.
2. Получить 52 16-битных подключа.
3. Используя IDEA зашифровать 64-битный открытый текст, полученный из четырех 16-битных чисел приведенных в таблице.

**4. Варианты заданий на лабораторную работу:**

| №  | 4 32-битных числа образующих ключ |            |            |            | 4 16-битных числа образующих открытый текст |       |       |       |
|----|-----------------------------------|------------|------------|------------|---|-------|-------|-------|
|    |                                   |            |            |            |   |       |       |       |
| 1  | 4050550955                        | 1605609391 | 4072650953 | 2152509687 | 61904                                       | 17310 | 49332 | 16838 |
| 2  | 3217524078                        | 2403608413 | 220733990  | 2132960021 | 23281                                       | 48426 | 61322 | 62166 |
| 3  | 2137223569                        | 459343409  | 2680294027 | 3370150015 | 8248  | 4274  | 21485 | 59702 |
| 4  | 1075145906                        | 4163724195 | 376717186  | 2219674323 | 14972                                       | 49039 | 64549 | 9420  |
| 5  | 2885975751                        | 302960335  | 2682933859 | 568218567  | 57489                                       | 57178 | 58988 | 30068 |
| 6  | 1586307963                        | 841351430  | 2179807788 | 2359332974 | 30425                                       | 13917 | 56939 | 17718 |
| 7  | 2191764735                        | 950737461  | 1947099742 | 3033432935 | 46300                                       | 10349 | 23793 | 19091 |
| 8  | 4147992390                        | 2081233322 | 4285451989 | 289725500  | 39775                                       | 48619 | 45844 | 18491 |
| 9  | 576108729                         | 1713995562 | 402245469  | 3725944755 | 54171                                       | 5668  | 14583 | 540   |
| 10 | 2399549051                        | 381429369  | 2286282825 | 486592193  | 14874                                       | 31769 | 11971 | 14579 |
| 11 | 393327998                         | 128957248  | 3288823206 | 3493307983 | 11807                                       | 64096 | 39837 | 31323 |
| 12 | 2606312739                        | 70330012   | 2517484261 | 2158024061 | 40342                                       | 41798 | 36831 | 59151 |
| 13 | 3794939534                        | 4139631718 | 3078930822 | 4151652064 | 48396                                       | 5174  | 59525 | 1652  |
| 14 | 3577581374                        | 7326287    | 962773068  | 2179082687 | 48955                                       | 41478 | 12122 | 42939 |
| 15 | 3501841911                        | 889864385  | 2094791617 | 2429906296 | 37853                                       | 29010 | 63013 | 62542 |
| 16 | 2693915442                        | 2426276426 | 1759041402 | 2963030821 | 54876                                       | 50950 | 50052 | 35178 |
| 17 | 852664571                         | 2836643571 | 621087970  | 22512852   | 56104                                       | 21150 | 58913 | 45125 |
| 18 | 4035136389                        | 1411881013 | 3116347662 | 1209113068 | 56257                                       | 52244 | 21832 | 23699 |
| 19 | 318881032                         | 1594100400 | 3205816004 | 3621080407 | 53194                                       | 43438 | 62533 | 36669 |
| 20 | 1607101676                        | 2998369029 | 364525601  | 3941447786 | 45131                                       | 41642 | 27624 | 28623 |
| 21 | 248398732                         | 1836539904 | 2732787650 | 1192019110 | 28245                                       | 16411 | 19540 | 19907 |
| 22 | 890165977                         | 2557132947 | 2216548152 | 143908829  | 63409                                       | 15955 | 24504 | 10610 |
| 23 | 2969264366                        | 1398732807 | 542853407  | 746873068  | 38580                                       | 59076 | 3798  | 25437 |
| 24 | 3520017987                        | 3482905064 | 2378572684 | 4250781116 | 48505                                       | 59241 | 1647  | 27147 |
| 25 | 812530895                         | 505809740  | 2349458837 | 610845889  | 7207  | 61616 | 17148 | 33653 |
| 26 | 724334849                         | 2815019107 | 2771474347 | 2731938081 | 23516                                       | 49432 | 55626 | 62234 |
| 27 | 2134355966                        | 570028486  | 2690612222 | 2672240553 | 19151                                       | 57471 | 17500 | 30614 |
| 28 | 2977185637                        | 855373018  | 1985636339 | 1229062488 | 16664                                       | 52628 | 45543 | 20768 |
| 29 | 4005400952                        | 870708442  | 2462685962 | 587359993  | 35645                                       | 15999 | 65399 | 5252  |
| 30 | 344931996                         | 3285617794 | 1114899366 | 837881789  | 57666                                       | 1521  | 10762 | 30688 |
| 31 | 2772528401                        | 1700561126 | 1779933219 | 2104400047 | 56491                                       | 59008 | 12778 | 39399 |
| 32 | 4111386705                        | 678808895  | 806078506  | 3644787109 | 50661                                       | 46435 | 45336 | 9531  |
| 33 | 1848927409                        | 3357319529 | 2375975537 | 1177994508 | 11319                                       | 19121 | 33535 | 53737 |
| 34 | 102000513                         | 1616164732 | 629459960  | 3339002714 | 35408                                       | 64809 | 15403 | 45901 |
| 35 | 1927301123                        | 1433622983 | 3662567245 | 1770538537 | 29656                                       | 10802 | 3656  | 51812 |
| 36 | 1011099420                        | 388835343  | 1961682440 | 4218523310 | 25784                                       | 18564 | 6198  | 21704 |
| 37 | 950662036                         | 1378832407 | 46026433   | 3357679952 | 16831                                       | 5118  | 53683 | 7160  |
| 38 | 100601274                         | 859828621  | 2844273055 | 1687011393 | 33108                                       | 50046 | 26656 | 413   |
| 39 | 1070285717                        | 454812969  | 1647162556 | 4289798755 | 51205                                       | 54682 | 63862 | 50346 |
| 40 | 2398699168                        | 3212104873 | 970936454  | 4180732566 | 47275                                       | 31621 | 26770 | 61736 |
| 41 | 636558462                         | 1707113513 | 1157167982 | 3238723746 | 49897                                       | 14949 | 16503 | 25208 |
| 42 | 3370888672                        | 2327086900 | 2611729377 | 1337139405 | 39742                                       | 25044 | 22561 | 10944 |
| 43 | 797380120                         | 1830349005 | 2266390857 | 3113796624 | 58559                                       | 4618  | 13266 | 41245 |
| 44 | 2252425784                        | 2554071043 | 3752822840 | 2554201727 | 45137                                       | 14713 | 15568 | 25680 |
| 45 | 2899698915                        | 3677194934 | 876251366  | 194339887  | 19236                                       | 1341  | 38403 | 51543 |